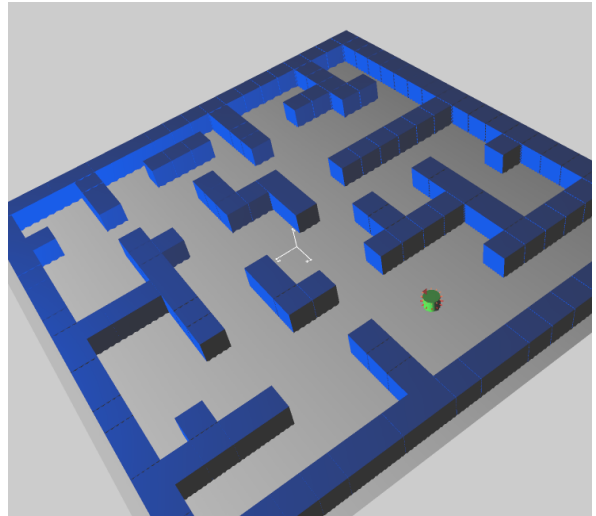


Apprentissage et optimisation pour la robotique autonome

L3 IARO

Nicolas Bredeche

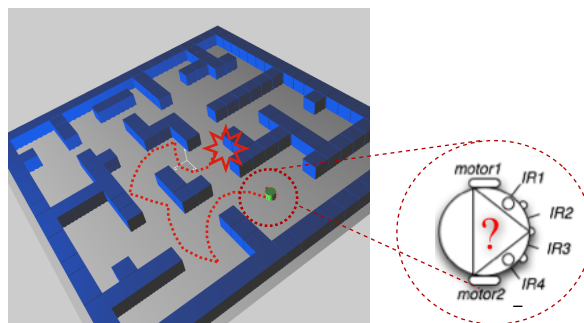
Université Pierre et Marie Curie
ISIR, UMR 7222
Paris, France
nicolas.bredeche@upmc.fr



mise à jour: 2018-04-04

Etude de cas

3



Objectif: maximiser l'exploration

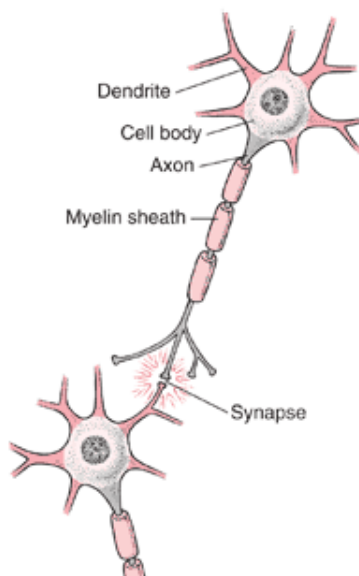
- Éléments à définir:
 - ▶ la fonction objectif (p.ex. maximiser la distance parcourue)
 - ▶ le formalisme de contrôle (p.ex. combinaison linéaire des entrées sensorielles)
 - ▶ l'espace de recherche (p.ex. les paramètres de la combinaison linéaire)
 - ▶ la méthode (p.ex. la recherche au hasard)

Espace de recherche et contrôleur

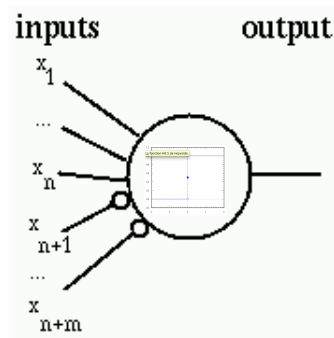
Réseaux de neurones artificiels
perceptron multi-couches

Qu'est ce qu'un neurone?

5



En pratique: un neurone artificiel n'est qu'*inspiré* du neurone réel.



- La forme la plus simple: le neurone formel [McCulloch, Pitts, 1943]

- Poids synaptiques

- excitation, inhibition

- Fonction d'activation $\phi(\sum_{i=0}^n w_i * x_i)$

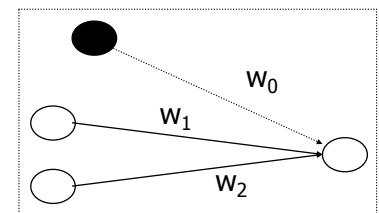
- fonction de Heaviside

$$H(x) = \begin{cases} 0 & \text{si } x < 0 \\ 1 & \text{si } x \geq 0 \end{cases}$$

Perceptron

- Perceptron [Rosenblatt, 1957]

- Neurones formels
 - Ajout d'un neurone de biais
 - Fonction d'activation non-linéaire et dérivable

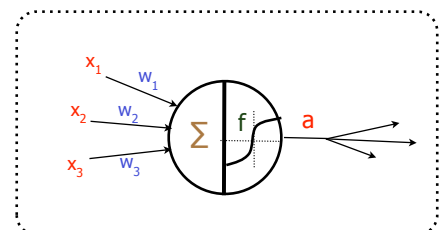


- Calcul de l'activité d'un neurone:

$$a = f_{activation}(\sum_{i=0}^n (w_i * x_i))$$

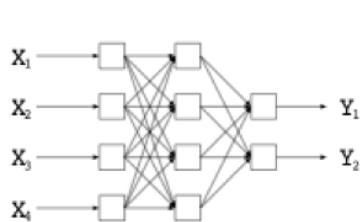
- Notation:

- ▶ x : activité interne du neurone (ie. avant fonction d'activation)
 - ▶ a : activité du neurone en sortie (ie. après fonc. d'activation)

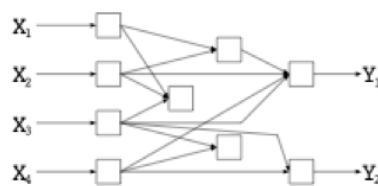


- Fonctions d'agrégation / de combinaison
 - Combinaison linéaire des entrées (cf. transp. précédent)
 - Radial Basis Function (RBF)
 - ▶ norme euclidienne de la différence entre les vecteurs d'entrées
- Fonctions d'activation
 - Heaviside (ie. non-linéaire, non dérivable)
 - Linéaire (ie. équivalent à une matrice de transformation)
 - Sigmoid, Tangente hyperbolique (ie. non-linéaire, dérivable)
 - Gaussienne (ie. non-linéaire, dérivable)
 - Rectified Linear Unit (ie. 0 si $x < 0$; x sinon) [fréquent dans les réseaux profonds]

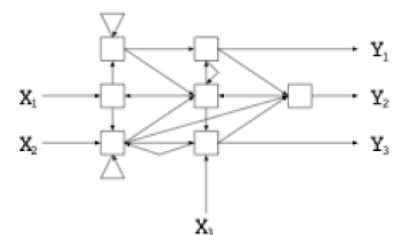
Topologie



Muti-layer perceptron



"Feed-forward" network



Recurrent Network

- Réseaux à propagation directe ["feed-forward NN"]
 - À chaque instant : $F: \mathcal{R}_n \Rightarrow \mathcal{R}_m$
- Réseaux récurrents ["recurrent NN"]
 - À chaque instant : l'activation de chaque neurone à t peut dépendre:
 - ▶ des entrées
 - ▶ de l'état du réseau à $t-1$

Question: qu'est ce qui peut être modifié dans un réseau?

- Paramètres
 - Poids des arcs
 - Paramètres de la fonction d'activation
- Topologie
 - Ajout/suppression des arcs
 - Ajout/suppression des noeuds

Théorie et pratiques

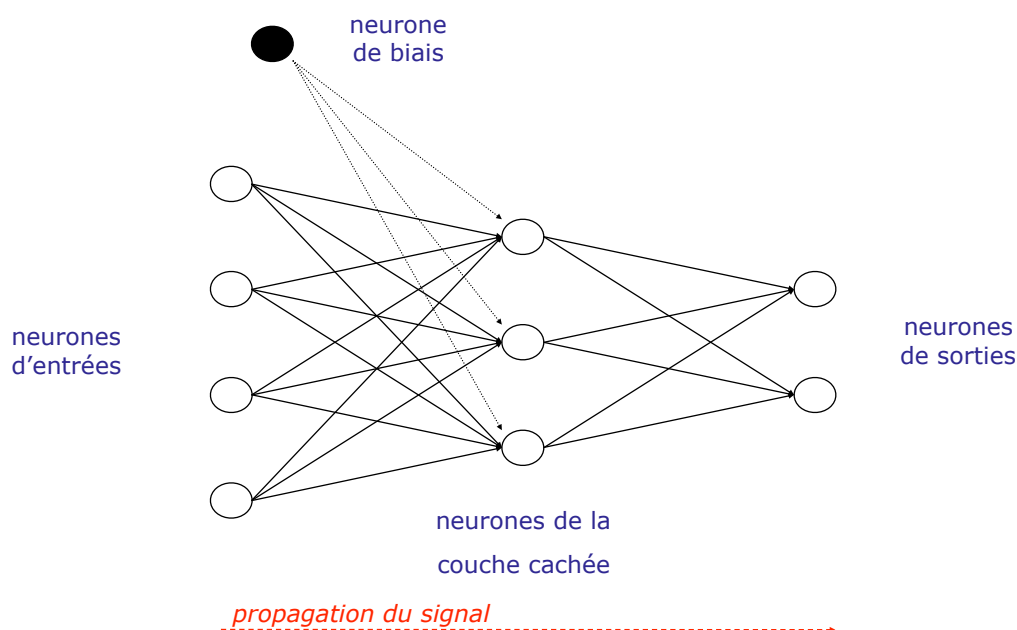
11

- Résultats théoriques
 - approximateur universel
 - ▶ une couches “cachée” suffit, si suffisamment de neurones.
 - ▶ régression [Cybenko 1988-89], classification [Hornik 1989]
- Propriétés empiriques
 - Bonne résistance au bruit
 - Bonnes propriétés de généralisation
 - Meilleur si domaine plutôt convexe
 - ▶ « Si A et B positifs, tout le segment AB est positif »
 - ▶ Sensible lors de dépendances sur les entrées
 - P.ex. le nombre d'entrées à I est paire ou impaire ?
 - Un perceptron mono-couche n'y arrive pas; un PMC difficilement

- **Inspiration biologique: « neuro-mimétisme »**
 - 1943 : neurone formel de McCulloch&Pitts
 - 1949 : Règle de Hebb
- **Première époque (1959-1969)** [Rosenblatt 59, Widrow&Hoff 60, Minsky&Papert 69]
 - 1959 : perceptron et règle d'apprentissage
 - 1969 : Limites du perceptron (aux problèmes linéairement séparables)
- **Seconde époque (1986-...)** [Rumelhart&McClelland 86][LeCun 86][Werbos 74][Parker 82]
 - 1986 : Perceptron Multi-Couches (pour les problèmes linéairement non-séparables)
 - Algorithme de rétro-propagation du gradient pour les PMC
 - Algorithme d'apprentissage des poids et de la structure
- **Aujourd'hui (~2000-...)**
 - Dynamique interne et prédiction de séries temporelles (ESN, LSM)
 - Optimisation paramétrique et non-paramétrique des réseaux de neurones
 - Réseaux de neurones profonds (Deep NN) et/ou convolutionnel

Perceptron Multi-Couches (MLP)

[LeCun, 1984] [Rumelhart et McLelland, 1984][Werbos, 1974][Parker, 1982]



Propriété requise : fonction d'activation non-linéaire et dérivable

Perceptron Multi-Couches (MLP)

14

[LeCun, 1984] [Rumelhart et McLelland, 1984][Werbos, 1974][Parker, 1982]

- Propriétés requises :

- couche cachée: fonction d'activation non-linéaire et dérivable

- En pratique:

- couche cachée:

- ▶ fonction sigmoïde $f(x) = 1/(1 + e^{-kx})$ equiv. à : $f(x) = (1 + \tanh(x))/2$
dérivé: $f'(x) = f(x)(1 - f(x))$

- ▶ tangente hyperbolique

- couche de sortie : fonction linéaire

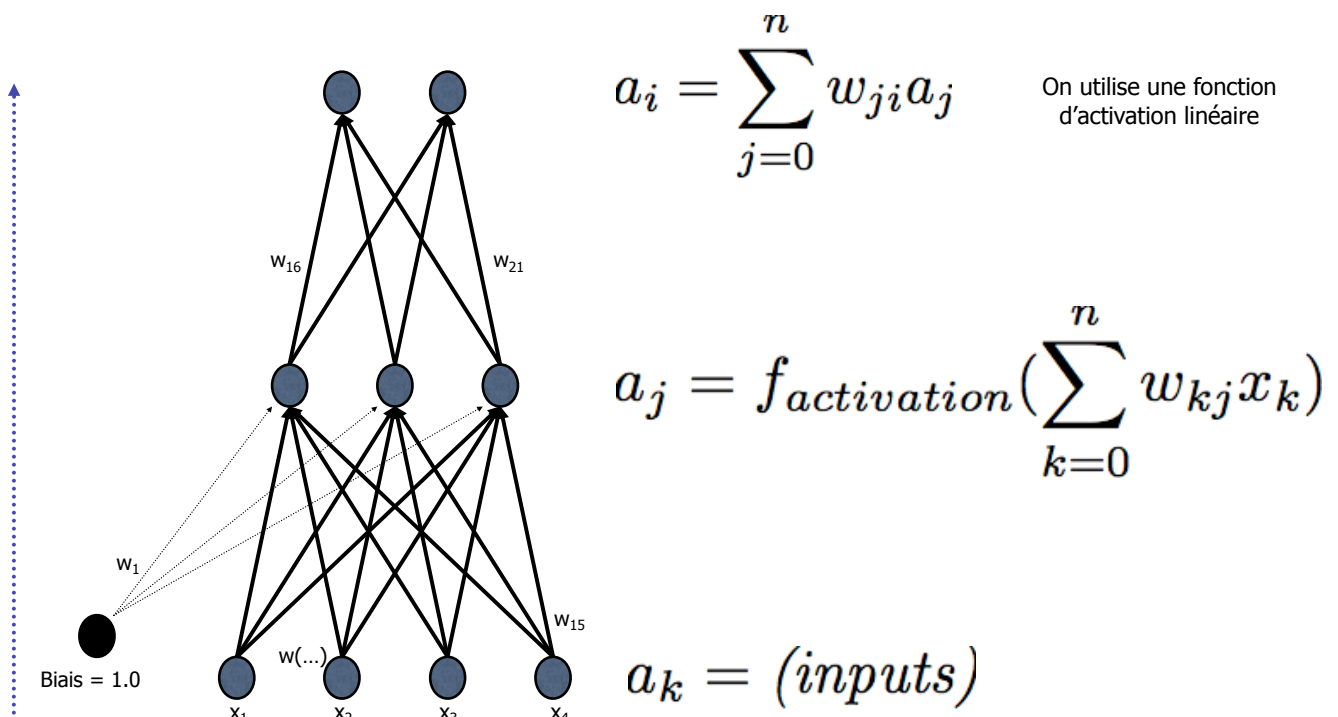
- Remarques

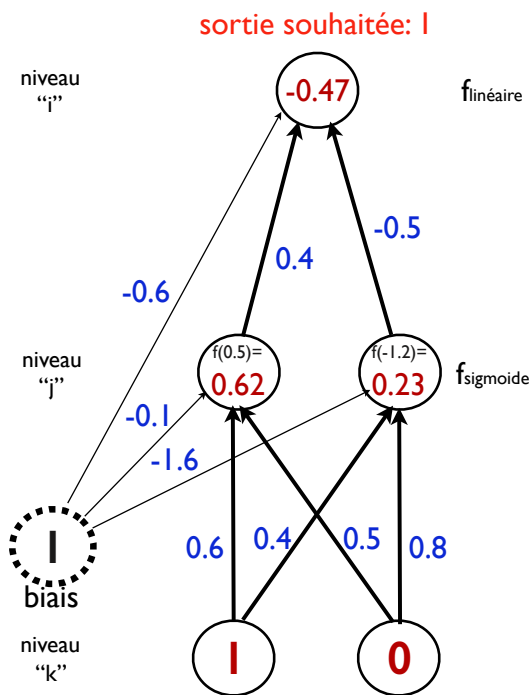
- paramètre clé: le nombre de neurones cachés

- ▶ Remarque: évidemment, la topologie, le nombre de couche, ont aussi une influence, mais sont aussi plus difficile à régler.

Propagation du signal dans un MLP

15





$$a_i = \sum_{j=0}^n w_{ji} a_j$$

$$a_{i=1} = 0.4 * 0.62 + -0.5 * 0.23 + -0.6 = -0.47$$

$$a_j = f_{\text{activation}} \left(\sum_{k=0}^n w_{kj} x_k \right)$$

$$a_{j=1} = f_{\text{sig}}(0.6 * 1 + 0.5 * 0 + -0.1) = f_{\text{sig}}(0.5) = 0.62$$

$$a_{j=2} = f_{\text{sig}}(0.4 * 1 + 0.8 * 0 + -1.6) = f_{\text{sig}}(-1.2) = 0.23$$

$$a_k = (\text{inputs})$$

$$a_{k=1} = 1$$

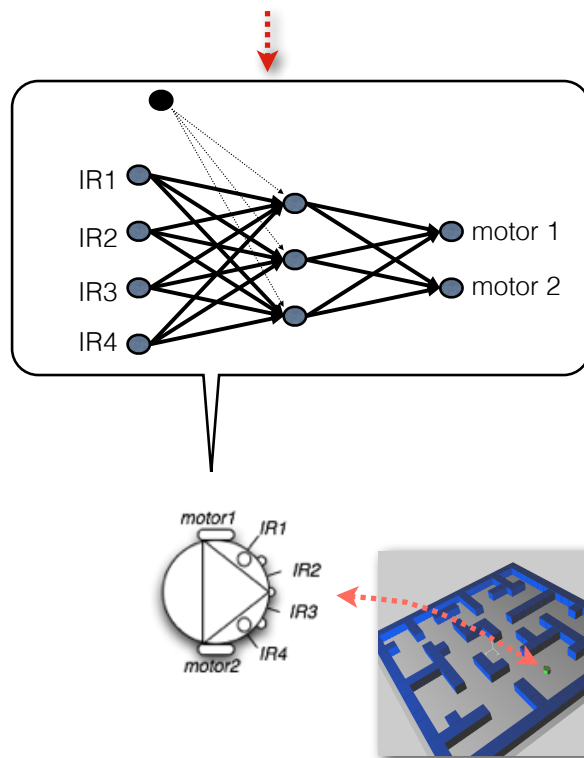
$$a_{k=2} = 0$$

activation: sigmoïde $f(x) = 1/(1 + e^{-kx})$ pour la couche cachée, et linéaire pour les sorties

Méthodes d'apprentissage

Apprentissage par renforcement par évolution artificielle
Apprentissage supervisé et algorithme de rétro-propagation

poids du réseaux de neurones



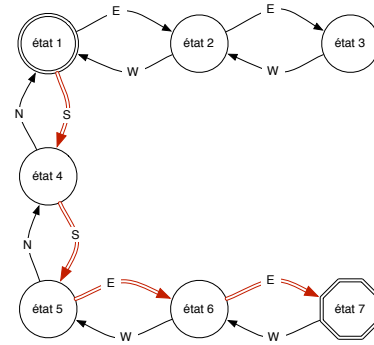
nicolas.bredeche@upmc.fr

22

● Comment apprendre?

- Apprentissage par renforcement
 - Lors de l'apprentissage, on doit effectuer une séquence d'actions avant d'obtenir une estimation de la qualité de notre stratégie
 - Méthode: model-based RL, recherche de politique
- Apprentissage supervisé
 - Lors de l'apprentissage, on connaît la réponse attendue pour chaque pas de temps (i.e. on dispose d'un "oracle").
 - Méthode: algorithme de rétro-propagation du gradient, ...

nicolas.bredeche@upmc.fr



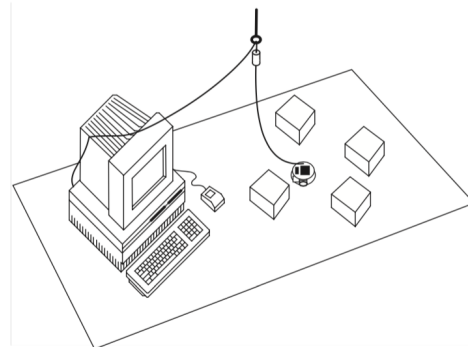
• Objectif:

- trouver la politique optimale qui maximise la récompense globale
- on veut $\forall s_t, \pi^*(s_t) \rightarrow a_t^*$ avec un espérance de gain max.

• Notations:

- a_t^* action optimale à t ; ($a_t^* \in A$)
- s_t état courant à t ; ($s_t \in S$)

Optimisation pour la navigation



$$fitness = \sum_{t=0}^{evalTime} (v_t * (1 - v_r) * (minSensorValue))$$

Vt: vitesse de translation

Vr: vitesse de rotation

MinSensorValue: valeur du senseur le plus "stimulé"

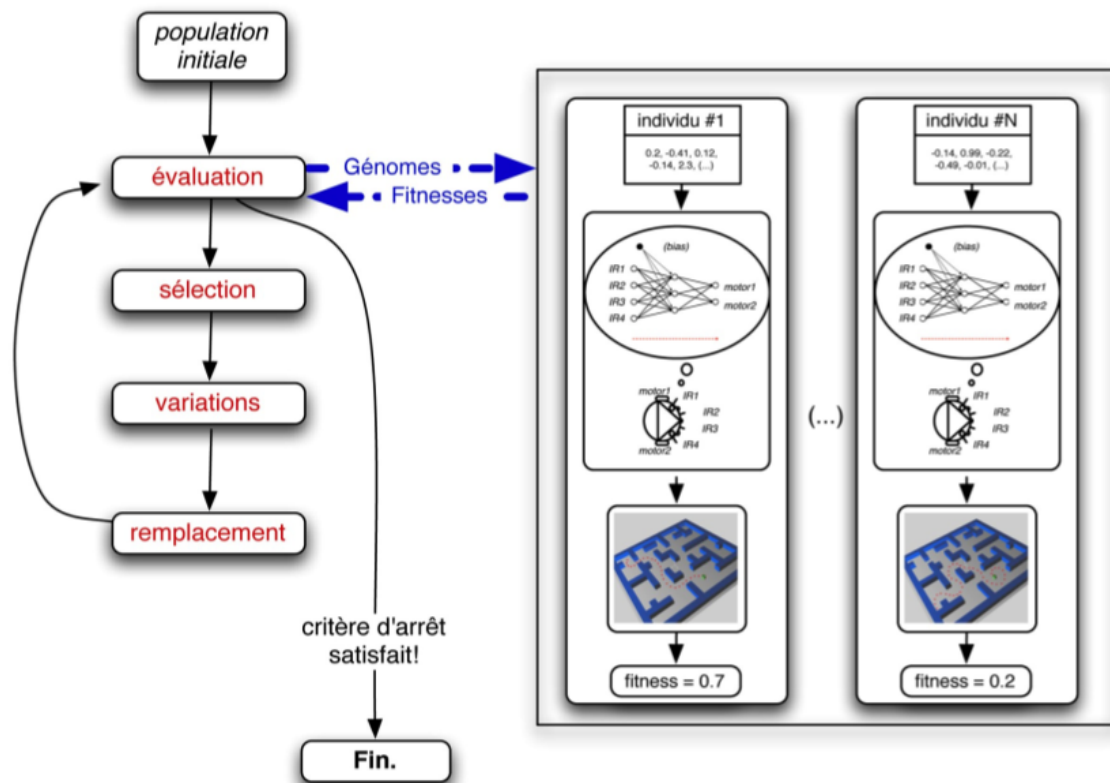
si aucun obstacle: renvoi 1

sinon: renvoi une valeur dans $[0, 1[$

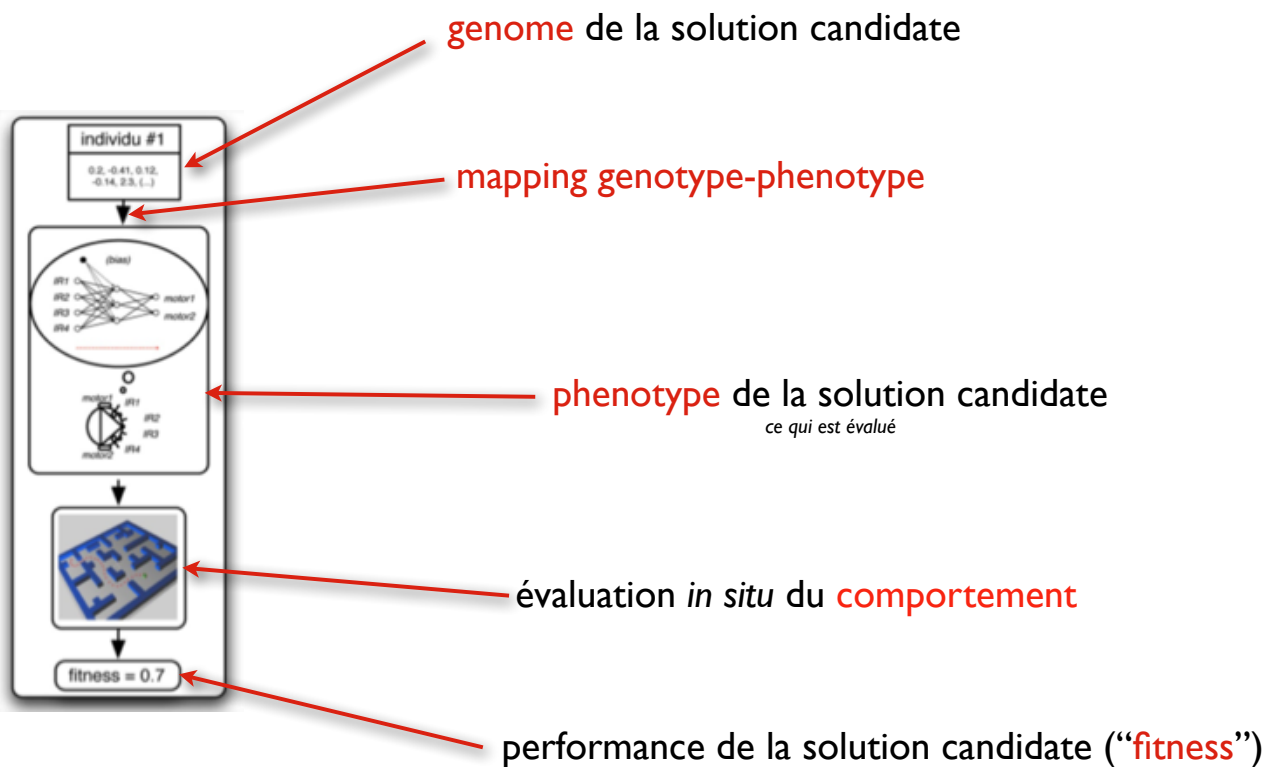
Remarques:

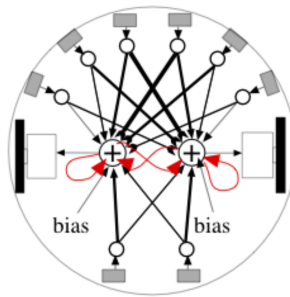
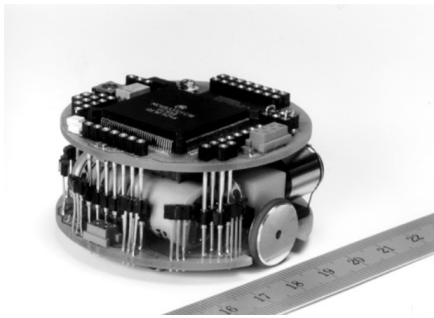
chaque terme est normalisé entre 0 et 1

la vitesse de rotation est donnée en valeur absolue



génotype et phénotype





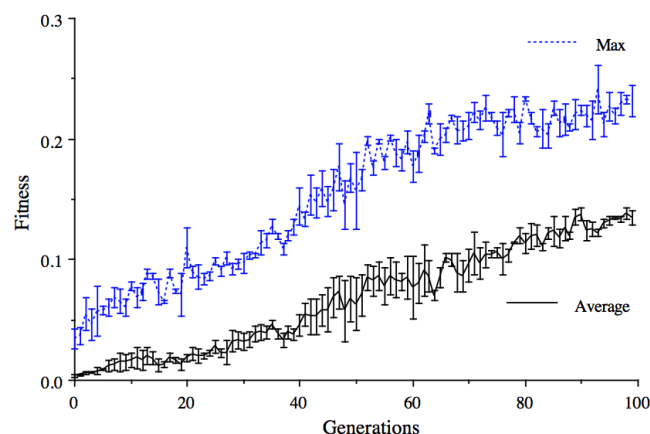
Population size	80
Generation number	100
Crossover probability	0.1
Mutation probability	0.2
Mutation range	± 0.5
Initial weight range	± 0.5
Final weight range	Not bounded
Life length	80 actions
Action duration	300 ms

• conditions expérimentales

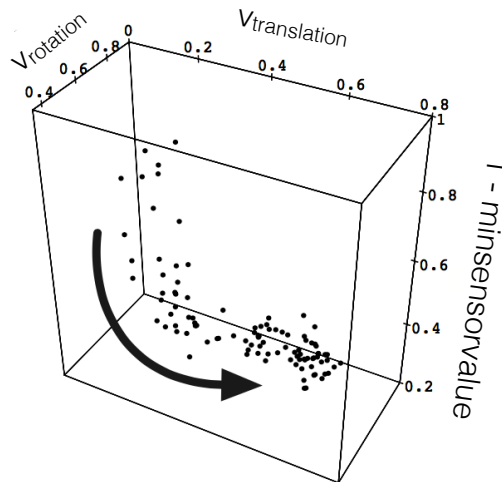
- Réseau de neurones fct sigmoïde, génome: poids et seuil d'activ., cnx récurrentes
- Algorithme génétique sélection par roulette, mutation, cross-over
- Robot réel 40 min par génération; 100 générations; durée totale: 66 heures!

Performance

Average and best individual fitnesses over generations (3 trials/dot)



- Premières générations:
 - tournent sur place; foncent dans les murs
- après 20 générations:
 - évite les obstacles; tournent sur place
- après 50 générations:
 - rapide; évitent les obstacles; indépendant du point de départ



extrait de: [Floreano, Mondada, 1994], légende adaptée

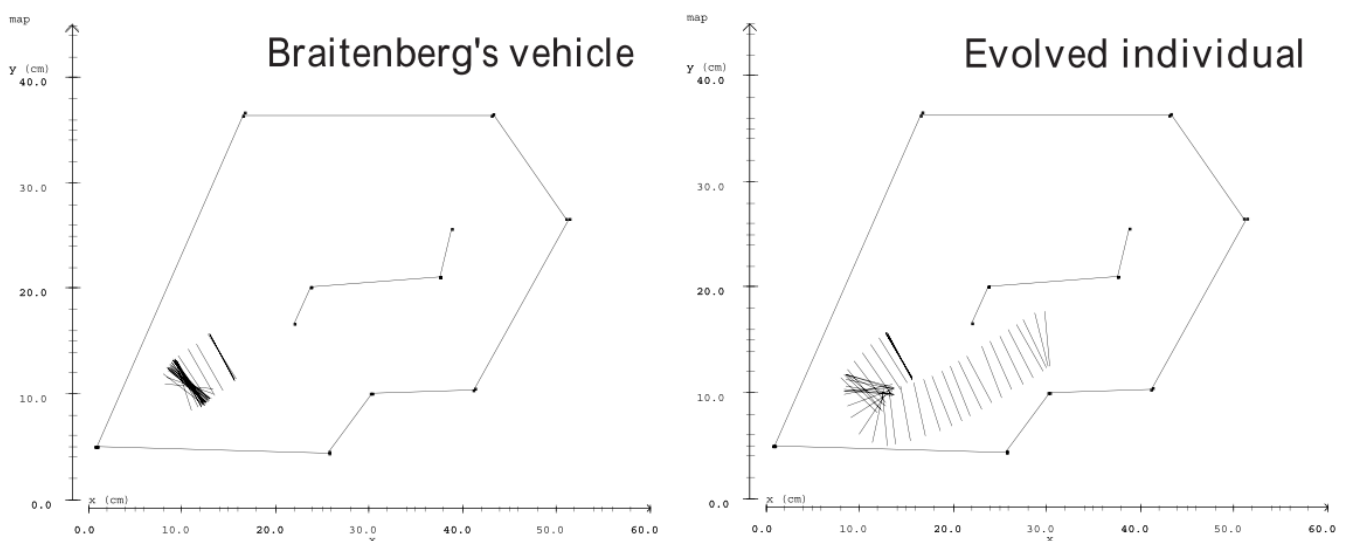
- ▶ Premières générations:
 - ▶ tournent sur place; foncent dans les murs
- ▶ après 20 générations:
 - ▶ évite les obstacles; tournent sur place
- ▶ après 50 générations:
 - ▶ rapide; évitent les obstacles; indépendant du point de départ

nicolas.bredeche@upmc.fr

[Floreano, Mondada 1994][Nolfi, Floreano, 2000]

Evaluation p/r à un véhicule de Braitenberg

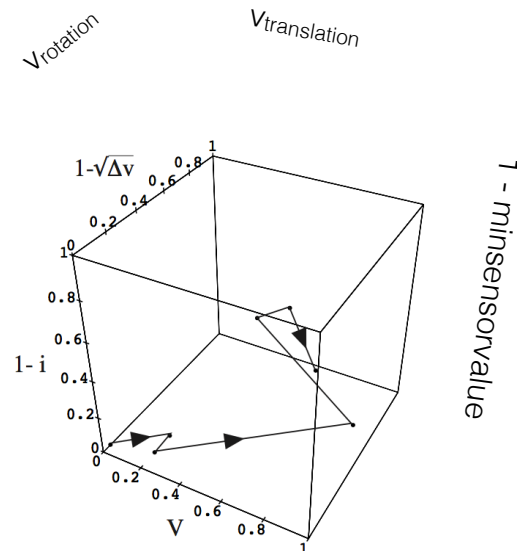
30



Comparaison qualitative

nicolas.bredeche@upmc.fr

[Floreano, Mondada 1994][Nolfi, Floreano, 2000]



Trajectoire d'un robot dans l'espace de la fitness

changement au cours du temps de la valeur de fitness instantanée
à partir d'un point de départ défavorable (coincé dans un coin)

● Comment apprendre?

- Apprentissage par renforcement
 - Lors de l'apprentissage, on doit effectuer une séquence d'actions avant d'obtenir une estimation de la qualité de notre stratégie
 - Méthode: model-based RL, recherche de politique
- Apprentissage supervisé
 - Lors de l'apprentissage, on connaît la réponse attendue pour chaque pas de temps (i.e. on dispose d'un "oracle").
 - Méthode: algorithme de rétro-propagation du gradient, ...

Remarque: cette partie n'est pas pertinente pour le projet

- Le problème:

$$\{(x_i, y_i), x_i \in \mathcal{X}, y_i \in \mathcal{Y}\}, \mathcal{Y} = \overset{\text{classification}}{\{-1, 1\}} \text{ or } \overset{\text{regression}}{\mathbf{R}}$$

- Une fonction de perte (l'oracle):

$$\ell : \mathcal{Y} \times \mathcal{Y} \rightarrow \mathbf{R}^+$$

- Objectif:

- Trouver l'hypothèse qui minimise l'erreur de prédiction

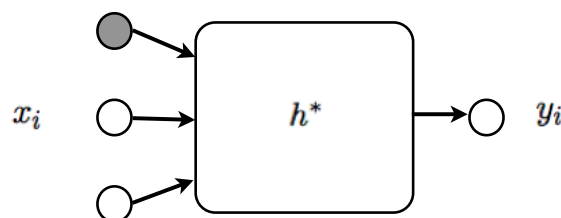
$$h^* : \mathcal{X} \mapsto \mathcal{Y}$$

$$\text{tel que: } L(h^*) = \operatorname{argmin}\{L(h), h \in H\}$$

Hypothèse cherchée

34

$$\{(x_i, y_i), x_i \in \mathcal{X}, y_i \in \mathcal{Y}\}, \mathcal{Y} = \{-1, 1\} \text{ or } \mathbf{R}$$



h^* peut être représenté par de multiples formalismes... un réseau de neurones, des règles, un arbre de décision, SVM, etc.



“Dave”, autonomous off-road vehicle

entrée: image stéréoscopique acquise par les caméras

sortie: contrôle des moteurs gauche et droite

Problème d'apprentissage supervisé

minimiser l'erreur entre la sortie prédite et la sortie donnée par l'oracle (ici: le pilote)



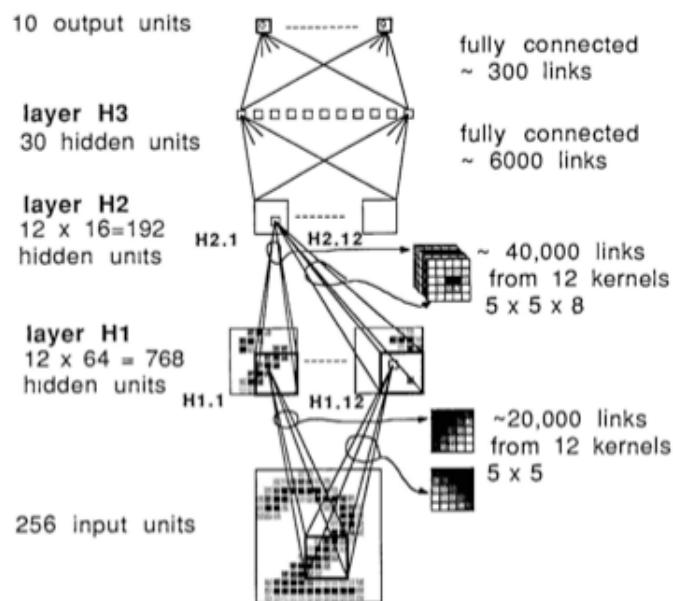
“Dave”, autonomous off-road vehicle

entrée: image stéréoscopique acquise par les caméras

sortie: contrôle des moteurs gauche et droite

Problème d'apprentissage supervisé

minimiser l'erreur entre la sortie prédite et la sortie donnée par l'oracle (ici: le pilote)



9760 poids (au lieu de 200000 poids si on connecte tout)

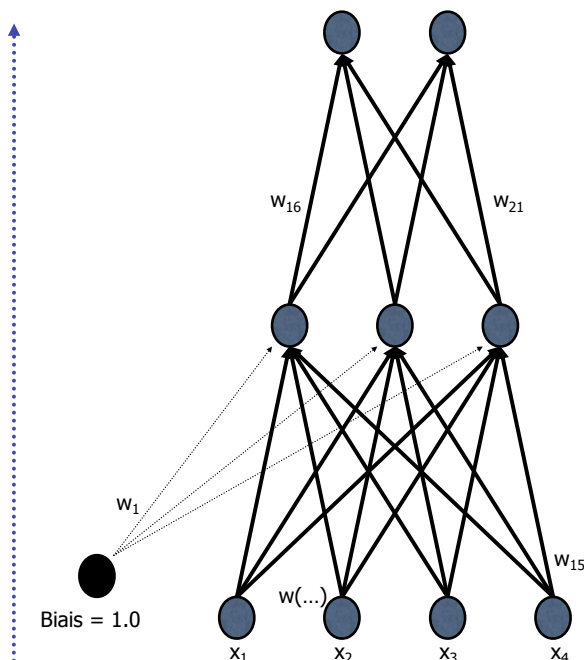
7300 exemples d'apprentissage, 2000 exemples de tests, 99% de précision.

nicolas.bredecche@upmc.fr

Propagation du signal dans un MLP

rappel des slides précédents

38

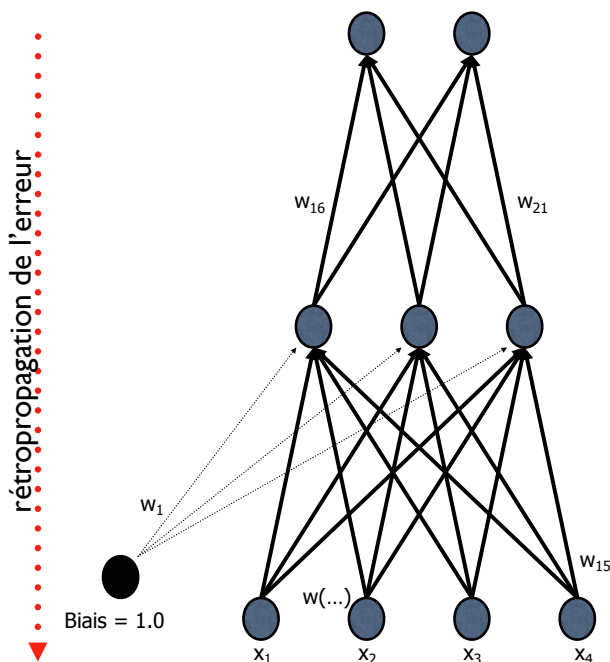


$$a_i = \sum_{j=0}^n w_{ji} a_j$$

On utilise une fonction d'activation linéaire

$$a_j = f_{activation} \left(\sum_{k=0}^n w_{kj} x_k \right)$$

$$a_k = (inputs)$$



$$\delta_i = f'_{activation}(x_i) * (a_i^* - a_i)$$

$$w_{ji}^{t+1} = w_{ji}^t + \mu * \delta_i * a_j$$

$$\delta_j = f'_{activation}(x_j) * \left(\sum_{i=0}^{nb_{sorties}} (w_{ji} * \delta_i) \right)$$

$$w_{kj}^{t+1} = w_{kj}^t + \mu * \delta_j * a_k$$

a_i^* : i^{eme} sortie_désirée

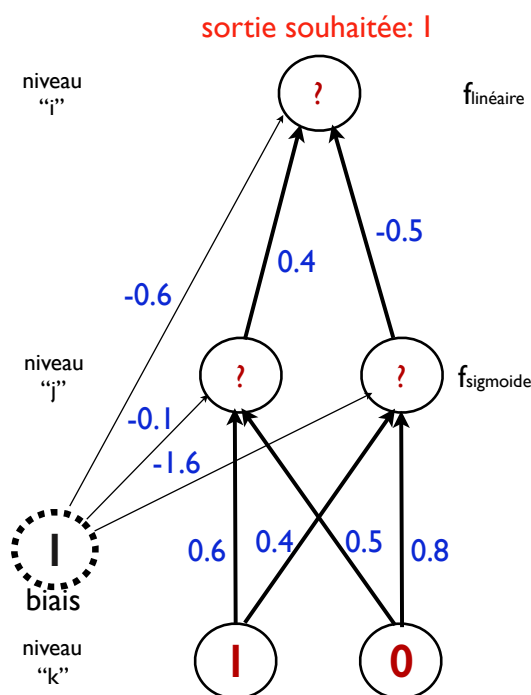
μ : pas_d'apprentissage

δ : "sensibilité"

«back-propagation algorithm»

Mise en pratique : propagation et rétro-propagation

40



Imaginons:

- sortie attendue: "1"

Objectif:

Régler les poids du réseau.

Etude pratique:

1. propagation du signal

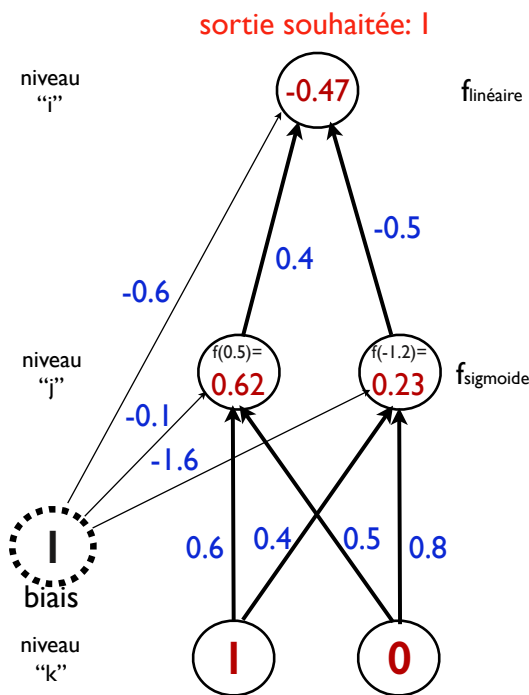
2. rétro-propagation de l'erreur

Remarque: en pratique, il faudrait faire cela un grand nombre de fois pour chaque exemple de la base d'apprentissage.

activation: sigmoïde $f(x) = 1/(1 + e^{-kx})$ pour la couche cachée, et linéaire pour les sorties

dérivé sigmoïde: $f'(x) = f(x)(1 - f(x))$

Ici, on fixe $\mu=0.1$ (pas d'apprentissage)



$$a_i = \sum_{j=0}^n w_{ji} a_j$$

$$a_{i=1} = 0.4 * 0.62 + -0.5 * 0.23 + -0.6 = -0.47$$

$$a_j = f_{\text{activation}} \left(\sum_{k=0}^n w_{kj} x_k \right)$$

$$a_{j=1} = f_{\text{sig}}(0.6 * 1 + 0.5 * 0 + -0.1) = f_{\text{sig}}(0.5) = 0.62$$

$$a_{j=2} = f_{\text{sig}}(0.4 * 1 + 0.8 * 0 + -1.6) = f_{\text{sig}}(-1.2) = 0.23$$

$$a_k = (\text{inputs})$$

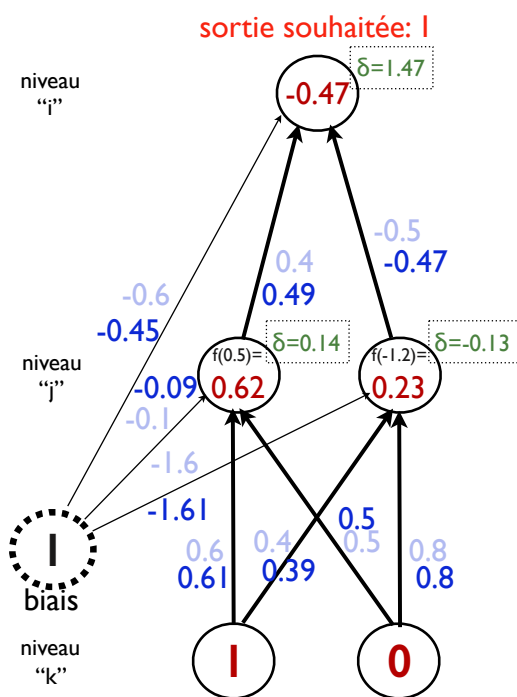
$$a_{k=1} = 1$$

$$a_{k=2} = 0$$

activation: sigmoïde $f(x) = 1/(1 + e^{-kx})$ pour la couche cachée, et linéaire pour les sorties

Etape 2 : rétro-propagation de l'erreur et correction

46



$$1.a \delta_i = f'_{\text{activation}}(x_i) * (a_i^* - a_i)$$

$$\delta_{i=1} = f'_{\text{linéaire}}(-0.47) * (1 - -0.47) = 1 * 1.47 = 1.47$$

$$1.b \delta_j = f'_{\text{activation}}(x_j) * \left(\sum_{i=0}^{nb_{\text{sorties}}} (w_{ji} * \delta_i) \right)$$

$$\delta_{j=1} = f'_a(0.5) * (0.4 * 1.47) = (f_a(0.5) * (1 - f_a(0.5))) * 0.59$$

$$= (0.62 * 0.38) * 0.59 = 0.14$$

$$\delta_{j=2} = f'_a(-1.2) * (-0.5 * 1.47) = (0.23 * 0.77) * 0.74 = -0.13$$

$$2.a w_{ji}^{t+1} = w_{ji}^t + \mu * \delta_i * a_j$$

$$w_{j=1,i=1} = 0.4 + 0.1 * 1.47 * 0.62 = 0.49$$

$$w_{j=2,i=1} = -0.5 + 0.1 * 1.47 * 0.23 = -0.47$$

$$w_{\text{bias},i=1} = -0.6 + 0.1 * 1.47 * 1 = -0.45$$

$$2.b w_{kj}^{t+1} = w_{kj}^t + \mu * \delta_j * a_k$$

$$w_{k=1,j=1} = 0.6 + 0.1 * 0.14 * 1 = 0.61$$

$$w_{k=2,j=1} = 0.5 + 0.1 * 0.14 * 0 = 0.5$$

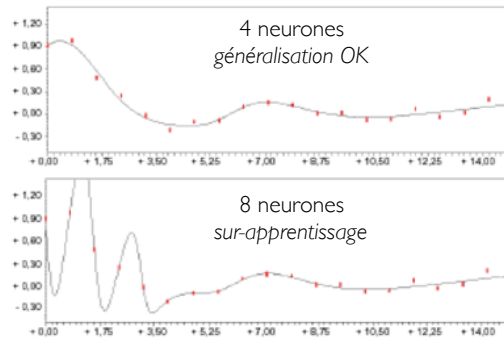
$$w_{\text{bias},j=1} = -0.1 + 0.1 * 0.14 * 1 = -0.09$$

$$w_{k=1,j=2} = 0.4 + 0.1 * -0.13 * 1 = 0.39$$

$$w_{k=2,j=2} = 0.8 + 0.1 * -0.13 * 0 = 0.8$$

$$w_{\text{bias},j=2} = -1.6 + 0.1 * -0.13 * 1 = -1.61$$

sigmoïde: $f'(x) = f(x)(1 - f(x))$ -- rappel: $a=f(x)$ -- $f'_{\text{lin}}(x)=1$ -- Ici, on fixe $\mu=0.1$ (pas d'apprentissage)



- Compromis mémorisation vs. généralisation
 - mémorisation: approximation +/- bonne des exemples
 - généralisation: risque de sur-apprentissage (= apprendre par coeur)
- Méthodologie:
 - Base d'apprentissage : exemples utilisés pour l'apprentissage (répétitions)
 - Base de test : exemples utilisés pour la validation (ex.: 10-fold cross-validation)

Crédit image: A. Cornuejols

Conclusions

- Ce qu'il faut retenir
 - ▶ Architecture de contrôle: réseaux de neurones artificiels
 - ▶ Espace de recherche: les poids du réseaux
 - ▶ Type de problèmes: appr. supervisé, appr. par renforcement
 - ▶ Méthodes: retro-propagation, évolution artificielle, etc.
 - différentes méthodes pour différents problèmes!
- Application dans le cadre du projet
 - ▶ Un nouveau formalisme pour la prise de décision d'un agent
 - ▶ Exemple d'évolution de comportements

Fin du cours